



# อสมมานตรของแบบลายนิ่วมือ ในคนไทย

สมทรง ณ นคร\*

สุวรรณ อรุณพงศ์ไพศาล\*\*

กฤษมา ชูศิลป์\*\*\*

พงศกร ภูแแสนคำ\*\*\*\*

## บทคัดย่อ

วัตถุประสงค์ เพื่อวิเคราะห์อสมมานตรของแบบลายนิ่วมือ (ความไม่เหมือนกันของแบบลายนิ่วมือ บนคู่นิ่วเดียวกัน) และดัชนีความซับซ้อนของแบบลายนิ่วมือ (จำนวนแบบลายนิ่วมือกันของลับ ด้วยแบบเดิม)

วิธีการศึกษา โดยการพิมพ์ลายนิ่วมือทั้งสิบน้ำของกลุ่มตัวอย่างคนไทยซึ่งเป็นนักศึกษาแพทย์วิทยาลัย จำนวน 1,005 คน (ชาย : หญิง 525 : 480) ด้วยโปรแกรม “พิมพ์ภาพลายนิ่วมืออัตโนมัติปราสาชาจาก หมึก” ซึ่งสามารถบันทึกภาพลายนิ่วมือได้รวดเร็วและมีคุณภาพสูงในรูปไฟล์อิเล็กทรอนิก การวิเคราะห์แบบลายนิ่วมือจำแนกเป็น 4 แบบ ได้แก่ โครง มัดหมายปัดหัวแม่มือ มัดหมายปัดก้อย และกันหอย

ผลการศึกษา อสมมานตรของแบบลายนิ่วมือ ในเพศชายมีค่าคะแนนเฉลี่ย = 1.08 (ค่าเบี่ยงเบน มาตรฐาน = 1.01) และ 1.27 (0.98) ในเพศหญิง ดัชนีความซับซ้อนของแบบลายนิ่วมือในเพศชาย และหญิง = 4.59 (3.56) และ 4.01 (3.72) ตามลำดับ ซึ่งแตกต่างอย่างมีนัยสำคัญ

คำสำคัญ ลายนิ่วมือ อสมมานตรของแบบลายนิ่วมือ ดัชนีความซับซ้อนของแบบลายนิ่วมือ

วารสารสมาคมจิตแพทย์แห่งประเทศไทย 2552; 54(1): 7-16

\* ภาควิชาชีววิทยา คณะวิทยาศาสตร์

\*\* ภาควิชาจิตเวชศาสตร์

\*\*\* ภาควิชาภูมารเวลาศาสตร์ คณะแพทยศาสตร์

\*\*\*\* ภาควิชาชีววิศวกรรมคอมพิวเตอร์ คณะวิศวกรรมศาสตร์ มหาวิทยาลัยขอนแก่น อ.เมือง จ.ขอนแก่น 40002



# Asymmetry of fingerprint pattern among Thais

Somsong Nanakorn\*

Suwanna Arunpongpaisal\*\*

Kusuma Chusil\*\*\*

Pongsakorn Poosankam\*\*\*\*

## Abstract

**Objective:** To analyse the pattern asymmetry (the discordance of fingerprint patterns between homologous fingers on the right and left hand), and the pattern complexity index (the number of whorls subtracted by numbers of arches).

**Method:** One thousand and five Thai university students ( $M:F = 525:480$ ) were obtained fingerprints by using the fingerprint scanner and the “automated inkless fingerprint imaging software”, which is able to collect quickly and store high-quality electronic file of fingertip images. Each finger pattern was characterized into 4 types: arch, radial loop, ulnar loop, and whorl.

**Results:** Mean scores of the pattern asymmetry among male and female subjects were 1.08 (S.D.=1.01), and 1.27 (0.98), respectively; the pattern complexity index was 4.59 (3.56) among male and 4.01 (3.72) among female subjects which is significantly different.

**Keywords:** Fingerprint, pattern asymmetry, pattern complexity index

-J Psychiatr Assoc Thailand 2009; 54(1): 7-16

\* Department of Biology, Faculty of Science, Khon Kaen University.

\*\* Department of Psychiatry, Faculty of Medicine, Khon Kaen University.

\*\*\* Department of Pediatric, Faculty of Medicine, Khon Kaen University.

\*\*\*\* Department of Computer Engineering, Faculty of Engineering, Khon Kaen University.

## บทนำ

การวิจัยลายเส้นผิวนัง (dermatoglyphic research) หมายรวมถึง การวิจัยเกี่ยวกับแบบลายเส้น จำนวนเส้น บนฝ่ามือ (palmprint) แบบลายนิ้วมือ (fingerprint pattern) จำนวนเส้นบนนิ้วมือ (finger ridge count) และลายฝ่าเท้า (footprint) ลายเส้นผิวนัง มีลักษณะเป็นเส้นนูนปรากภูบผิวนัง นิ้วมือ และนิ้วเท้าของทุกคน เป็นลักษณะเฉพาะของแต่ละบุคคล แม้แต่ฝาแฝดที่เกิดจากไข่ใบเดียวกัน (identical twins) ก็มีลักษณะลายเส้นผิวนังแตกต่างกัน การสร้างลายเส้นผิวนังถูกควบคุมด้วยยีนหลายยีนบนโครโมโซม ร่างกาย และมีการถ่ายทอดทางพันธุกรรมโดยมีอิทธิพล ของสิ่งแวดล้อมด้วย ยีนลายคู่มีปฏิกิริยา.r ร่วมกับ ลักษณะของประสาทตัวอ่อนในครรภ์ มีผลให้แต่ละคนมี เส้นลายนิ้วมือ เส้นลายมือแตกต่างกัน<sup>1</sup> จากการศึกษา ของ Penrose และ Ohara<sup>2</sup> Okajima<sup>3</sup> และ Babler<sup>4</sup> พบร า ลายเส้นนิ้วมือใช้เวลาสร้างนานประมาณ 24 สัปดาห์ โดยเริ่มเกิดขึ้นประมาณสัปดาห์ที่ 10 ถึง 11 หลังจากที่ ไข่ผสมกับสเปอร์ม ในช่วงเวลาดังกล่าวลายเส้นผิวนัง ปรากภูเป็นครั้งแรกในเบรเว่นผิวนังชั้นนอก มีชื่อเรียกว่า ลายเส้นปฐมภูมิ (primary ridge) และเจริญเติบโตต่อไป จนกระทั่งประมาณสัปดาห์ที่ 14 ซึ่งจะเป็นช่วงที่ต่อมา เห็นอีกครั้งตามแนวลายเส้นปฐมภูมิและลายเส้น ปฐมภูมิบนกลางฝ่ามือ (primary ridge formation creases) ลายเส้นทุดiyภูมิ (secondary ridge) จึงเริ่มเกิดขึ้น ระหว่างลายเส้นปฐมภูมินั้น จนถึงประมาณสัปดาห์ที่ 24 ของตัวอ่อนในครรภ์ ซึ่งนับจากนั้นลายเส้นผิวนัง จะไม่มีการเปลี่ยนแปลงไปตลอดชีวิต<sup>5</sup>

Fluctuating asymmetry เป็นรูปแบบหนึ่งของ การไม่สมมาตร (osmometric) ของร่างกาย (morphological asymmetry) ซึ่งหมายถึงการไม่สมดุลของลักษณะซึ่งข้าย และขวา ในร่างกายสิ่งมีชีวิต<sup>6</sup> และมักจะให้เป็นตัวชี้วัด ความผิดปกติของพัฒนาการของตัวอ่อนในครรภ์ เนื่องจากลักษณะภายนอกที่ปรากภูให้เห็นว่าอสมมาตร

นั้นเป็นผลเนื่องมาจากปฏิกิริยา.r ร่วมระหว่างสิ่งแวดล้อม และยีนในช่วงตัวอ่อนอายุ 6-15 สัปดาห์ ในต่างประเทศ ได้มีการศึกษาลายเส้นผิวนังโดยเฉพาะอสมมาตร ของแบบลายนิ้วมือและลายฝ่ามือ เป็นเครื่องชี้วัด ความผิดปกติของพัฒนาการของตัวอ่อนในครรภ์ และ โรคทางจิตเวชหลายโรคเช่น กลุ่มโรคจิต (psychosis)<sup>10-12</sup> โรคจิตเภท (schizophrenia)<sup>13-16</sup> โรคไปโพลาร์ (bipolar mood disorder)<sup>16,17</sup> เป็นต้น และยังมีการศึกษาในประเทศไทย อยู่ด้วย<sup>18,19</sup>

วัตถุประสงค์ของการวิจัยนี้ จึงต้องการศึกษา อสมมาตรของแบบลายนิ้วมือ และดูชนิดความซับซ้อน ของแบบลายนิ้วมือ ในคนไทย ซึ่งอาจจะเป็นการศึกษา แรกของประเทศไทย เนื่องจากคณะผู้วิจัยได้ทบทวน วรรณกรรมแล้วยังไม่พบการศึกษาเกี่ยวกับอสมมาตร ของแบบลายนิ้วมือในคนไทย

## อุปกรณ์และวิธีการศึกษา

อุปกรณ์ ได้แก่ เครื่องสแกนลายนิ้วมือ (fingerprint sensor) (IT WORKS Co., Ltd.) เครื่องคอมพิวเตอร์ ส่วนบุคคล (personal computer-Laptop) เครื่องพิมพ์ (printer) และซอฟท์แวร์ชื่อ “ปริแกรมพิมพ์ลายนิ้วมือ อัตโนมัติปราศจากหมึก” ที่ประดิษฐ์โดย สมหวัง ณ นคร และคณะ<sup>20, 21</sup> ซึ่งได้มีการทดสอบความเที่ยงตรง<sup>22</sup> แล้วโดยเปรียบเทียบกับเทคนิคการพิมพ์ลายนิ้วมือ แบบดั้งเดิม ชื่อเทคนิคเทปกาวย (transparent adhesive tape technique) ซึ่งนิยมใช้ในการวิจัยลายนิ้วมือ<sup>23-25</sup>

กลุ่มตัวอย่างและการรวบรวมข้อมูล นักศึกษา มหาวิทยาลัยขอนแก่นที่ลงทะเบียนเรียนวิชาปฏิบัติการ พันธุศาสตร์เบื้องต้น ตั้งแต่ปีการศึกษา 2546 ถึง 2550 จำนวน 1005 คน (ชาย : หญิง 525 : 480) เป็นกลุ่ม ตัวอย่างของ การศึกษานี้ ได้รับการพิมพ์ลายนิ้วมือด้วย เครื่องสแกนลายนิ้วมือ และปริแกรมพิมพ์ลายนิ้วมือ อัตโนมัติปราศจากหมึก ที่ได้ติดตั้งลงบนเครื่อง คอมพิวเตอร์ส่วนบุคคล ภาพพิมพ์ลายนิ้วมือของแต่ละ

คนถูกจัดเก็บเป็นไฟล์พีดีเอฟ (portable digital format) และถูกส่งพิมพ์ออกทางเครื่องพิมพ์

### การวิเคราะห์จำแนกแบบลายนิ้วมือ

แผ่นพิมพ์ลายนิ้วมือที่ส่งพิมพ์จากไฟล์พีดีเอฟ ซึ่งบันทึกข้อมูลลายนิ้วมือสับนิ้วของกลุ่มตัวอย่าง แต่ละคน (ภาพที่ 1) ได้รับการวิเคราะห์แบบลายนิ้วมือ แต่ละนิ้วตามเกณฑ์การจำแนกซึ่งเป็นมาตรฐานที่ใช้ใน การวิจัยลายนิ้วมือ<sup>26</sup> มีสีแบบ ได้แก่ แบบโค้ง แบบมัด หายปัดหัวแม่มือ แบบมัด hairy แบบมัด hairy ปัดก้อย และแบบกันรอย

#### คำจำกัดความ

อสมมารตรของแบบลายนิ้วมือ หมายถึง ความไม่เหมือนกันของแบบลายนิ้วมือคนคู่นี้เดียวกัน สำหรับ การวิจัยนี้ใช้แบบลายนิ้วมือสีแบบได้แก่ โค้ง มัด hairy ปัดหัวแม่มือ มัด hairy ปัดก้อย และกันรอย (กันรอยทุกแบบ มัด hairy คู่ และกันรอยคู่ติดเหตุ) เนื่องจากเป็น มาตรฐานในการจำแนกชนิดของแบบลายนิ้วมือใน การวิจัยลายเส้นผิวนั้น

รหัสประจำตัวประชาชน 9405001170429  
ภาษาไทย

ภาพพิมพ์ลายนิ้วมือแบบไม่ใช้หมึก อัตโนมัติ (Automated Inkless Fingerprint Image)

L = ลิขิรยา

R = รีบรา

1 = นิ้วอีเมล์

2 = นิ้วซี่

3 = นิ้วกลาง

4 = นิ้วกลาง

5 = นิ้วหัวแม่

W = Whorl (รูปวงกลม)

UL = Ulnar Loop (ลักษณะปีกกาล)

RL = Radial Loop (ลักษณะปีกกาล)

A = Arch (โค้ง)

DL = Double Loop Whorl (ลักษณะรูปสองวง)

AW = Accidental Whorl (ลักษณะรูปธรรมชาติ)



ภาพที่ 1 แผ่นพิมพ์ลายนิ้วมือที่ได้จากการพิมพ์ลายนิ้วมือด้วยเครื่องสแกนลายนิ้วมือ และโปรแกรม “พิมพ์ภาพลายนิ้วมือ อัตโนมัติปราศจากหมึก” แสดงผลการวิเคราะห์จำแนกแบบลายนิ้วมือทุกนิ้ว (ยกเว้นนิ้วหัวแม่) และมีอสมมารตร 2 คู่นี้ ได้แก่ คู่นี้ (ขวา=มัด hairy ปัดก้อย ซ้าย=มัด hairy ปัดหัวแม่มือ) และคู่นี้ (ขวา=กันรอย ซ้าย= มัด hairy ปัดก้อย)

ให้ค่าคะแนนเป็น 0 ถังนั้นถ้าแบบลายนิ่วมีของคนหนึ่ง มีค่าสมมาตร 1 คุณิว่า จากทั้งหมด 5 คุณิว จะได้ค่าค่าคะแนนรวมอสมมาตรเท่ากับ 1 และถ้ามีอสมมาตรมากถึง 5 คุณิว (ไม่มีแบบลายนิ่วมีอ่อนคุณิวเดียวกันที่เหมือนกันเลย) ค่าค่าคะแนนรวมอสมมาตรของแบบลายนิ่วมีของคนนี้ จะเท่ากับ 5 ถังนั้นค่าค่าคะแนนรวมอสมมาตร (pattern asymmetry score) ของแต่ละคน จะมีค่าระหว่าง 0 ถึง 5 ค่าคะแนน ค่าสูงกว่าแสดงถึงการมีอสมมาตรมากกว่า

สำหรับค่าคะแนนความซับซ้อนของแบบลายนิ่วมีอื่นซึ่งคือค่าค่าคะแนนที่ได้จากการจำแนกแบบลายนิ่วมีแบบโถง ลบออกจากแบบกันรอย โดยกำหนดให้ แบบโถงมีค่าค่าคะแนนเป็น -1 ในขณะที่ แบบมัดหมายปัดหัวแม่มือ และมัดหมายปัดก้อย มีค่าค่าคะแนนเป็น 0 และกันรอยมีค่าค่าคะแนนเป็น 1 ถังนั้นค่าดัชนีความซับซ้อนของแบบลายนิ่วมีของแต่ละคนจะมีค่าระหว่าง -10 ถึง +10 ถังตัวอย่างต่อไปนี้ ถ้าบุคคลใดมีลายนิ่วมีแบบกันรอยทั้งสิบนิ้ว จะมีค่าดัชนีความซับซ้อนของแบบลายนิ่วมีอีก = 10; ถ้ามีกันรอย 9 นิ้ว แบบโถง 1 นิ้ว จะมีค่าดัชนี = 8; ถ้ามีแบบโถงทั้ง 10 นิ้ว จะมีค่าดัชนี = -10; ถ้ามีกันรอย 1 นิ้ว แบบโถง 9 นิ้ว จะมีค่าดัชนี = -8; ถ้ามีแต้มด hairyปัดก้อยและหรือมัดหมายปัดหัวแม่มือ ทั้ง 10 นิ้ว จะมีค่าดัชนี = 0

สถิติที่ใช้ในการวิเคราะห์ข้อมูล ได้แก่ สถิติเชิงพรรณนาได้แก่ ร้อยละ และค่าเฉลี่ย ในการวิเคราะห์ค่าอสมมาตรของแบบลายนิ่วมีอ่อน แกนเป็นรายนิ้ว และค่าดัชนีความซับซ้อนของแบบลายนิ่วมีอื่น สำหรับการทดสอบความแตกต่างระหว่างเพศของจำนวนคุณิวที่มีอสมมาตรของแบบลายนิ่วมีอื่น และการทดสอบความแตกต่างของค่าเฉลี่ย ใช้สถิติเชิงวิเคราะห์โค-แสควร์ (Chi-square;  $\chi^2$ ) และการทดสอบที่ (*t*-test) ตามลำดับ ที่ระดับความเชื่อมั่น 95%

เราเปียบวิธีวิจัยในการศึกษานี้ได้ผ่านการอนุมัติจากคณะกรรมการจริยธรรมการวิจัยในมนุษย์ มหาวิทยาลัยขอนแก่นแล้ว

## ผลการศึกษา

### ภาพลายนิ่วมีอื่น

ภาพที่ 1 แสดงภาพแผ่นพิมพ์ลายนิ่วมีอื่นของกลุ่มตัวอย่าง ที่ได้จากการพิมพ์ลายนิ่วมีอื่นด้วยเครื่องสแกนลายนิ่วมีอื่น และ “โปรแกรมพิมพ์ภาพลายนิ่วมีอัตโนมัติปราศจากหมึก” ซึ่งแสดงผลการวิเคราะห์แบบลายนิ่วมีอื่นแต่ละนิ้ว (อักษรตัวเอ็น) ถังนี้ มีอชัยนิ่วหัวแม่มือมีแบบลายนิ่วมีอื่นกันรอย (WR) นิ้วกลาง นิ้วนาง และนิ้วก้อย เป็นมัดหมายปัดก้อย (UL) มือขวาและนิ้วหัวแม่มือ และนิ้วนาง เป็นกันรอย นิ้วซ้าย นิ้วกลาง และนิ้วก้อย เป็นมัดหมายปัดก้อย

### อสมมาตรของแบบลายนิ่วมีอื่น

อสมมาตรของแบบลายนิ่วมีอื่นของกลุ่มตัวอย่าง ในภาพที่ 1 มี 2 คุณิว ได้แก่คุณิวซ้าย (มัดหมายปัดก้อยที่นิ้วซ้าย) กับมัดหมายปัดหัวแม่มือ (ที่นิ้วซ้ายช้ำ) และคุณิวนาง (กันรอยที่นิ้วนางช้ำ) กับ มัดหมายปัดก้อยที่นิ้วนางช้ำ) หรือกล่าวอีกนัยหนึ่งคือมีเพียง 3 คุณิว (นิ้วหัวแม่มือ นิ้วกลาง และนิ้วก้อย) ที่มีแบบลายนิ่วมีอื่นเหมือนกัน (pattern symmetry) ภาพที่ 2 แสดงผลการวิเคราะห์จำแนกแบบลายนิ่วมีอุทกนิ้ว ซึ่งมีแบบลายนิ่วมีอื่นที่อสมมาตร เพียง 1 คุณิวที่นิ้วกลาง (ขวา = มัดหมายปัดก้อย; ซ้าย = โถง)

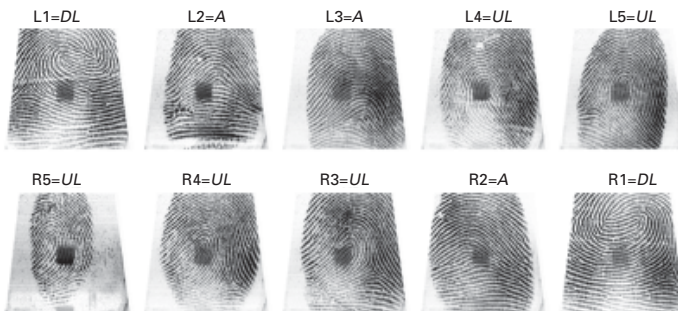
ผลการวิเคราะห์ค่าค่าคะแนนเฉลี่ยอสมมาตรของแบบลายนิ่วมีอื่น พบร่วมเพศชาย = 1.08 (ค่าเบี่ยงเบนมาตรฐาน = 1.01) ในเพศหญิง = 1.27 (0.98) ซึ่งแตกต่างอย่างมีนัยสำคัญทางสถิติ (*t*-test; *t* = -3.0, *df* = 1003, *p* = 0.003, 95%CI = -.31 ถึง -.07)

สำหรับการวิเคราะห์อสมมาตรของแบบลายนิ่วมีอ่อน ตามคุณิว พบว่าทั้งเพศชาย และหญิง มีนิ้วซ้าย-ช้ำที่มีแบบลายนิ่วมีอื่นไม่เหมือนกัน (อสมมาตร) สูงที่สุด อสมมาตรอันดับสองของจากนิ้วซ้าย คือนิ่วหัวแม่มือ (ตารางที่ 1) ในการวิเคราะห์ความแตกต่างระหว่างเพศ พบร่วมเพศหญิงมีอสมมาตร

รหัสประจำตัว 9413501120428

ภาพพิมพ์ลายนิ้วมือแบบไม่ใช้หมึก อัตโนมัติ (Automated Inkless Fingerprint Image)

L = นิ้วนาง	W = Whorl (รูปหอย)
R = นิ้วนารา	UL = Ulnar Loop (นิ้วนาราเป็นรีบ)
1 = นิ้วหัวแม่มือ	RL = Radial Loop (นิ้วหัวแม่มือเป็นรีบ)
2 = นิ้วซี่	A = Arch (รีบ)
3 = นิ้วกลาง	DL = Double Loop Whorl (รีบสองครึ่งหอย)
4 = นิ้วนาง	AW = Accidental Whorl (รีบหลอกบ้าหอย)
5 = นิ้วหอย	



ภาพที่ 2 แผ่นพิมพ์ลายนิ้วมือที่ได้จากการพิมพ์ลายนิ้วมือด้วยเครื่องสแกนลายนิ้วมือ และโปรแกรม “พิมพ์ภาพลายนิ้วมือ อัตโนมัติปราศจากหmagic” แสดงผลการวิเคราะห์จำแนกแบบลายนิ้วมือทุกนิ้ว และมีอัตราส่วนมาตรฐาน 1 คู่น้ำ ที่นิ้วกลาง (ขวา = มัดหมายปัดก้อย ซ้าย = โค้ง)

ตารางที่ 1 อสมมาตรของแบบลายนิ้วมือ (4 แบบ) จำแนกตามคู่น้ำ ในเพศชาย (525 คู่น้ำ) และเพศหญิง (480 คู่น้ำ)

นิ้วมือ	ชาย จำนวน (ร้อยละ)	หญิง จำนวน (ร้อยละ)	ไค-สแควร์, ระดับนัยสำคัญ
หัวแม่มือ	93 (17.7)	127 (26.5)	11.21, .001
ซี่	155 (29.5)	167 (34.8)	3.20, .043
กลาง	107 (20.4)	111 (23.1)	ไม่มีนัยสำคัญ
นาง	106 (20.2)	115 (24.0)	ไม่มีนัยสำคัญ
ก้อย	108 (20.6)	91 (19.0)	ไม่มีนัยสำคัญ

ของแบบลายนิ้วมือ ที่นิ้วหัวแม่มือ และนิ้วซี่ มากกว่า ของเพศชาย อย่างมีนัยสำคัญทางสถิติ กล่าวคือร้อยละ 26.5 ของคู่น้ำหัวแม่มือในเพศหญิง มีอัตราส่วนของแบบลายนิ้วมือ เปรียบเทียบกับร้อยละ 17.7 ในเพศชาย ( $\chi^2 = 11.21$ , df = 1, p = .001) ในทำนองเดียวกันร้อยละ 34.8 ของคู่น้ำซี่ในเพศหญิง มีอัตราส่วน เปรียบเทียบ กับร้อยละ 29.5 ของคู่น้ำซี่ในเพศชายที่มีอัตราส่วน ( $\chi^2 = 3.20$ , df = 1, p = .043)

ดัชนีความซับซ้อนของแบบลายนิ้วมือ ผลการวิเคราะห์ค่าคะแนนเฉลี่ยดัชนีความซับซ้อนของแบบลายนิ้วมือ ในเพศชาย (525 คน) และหญิง (480 คน) = 4.59 (ค่าเบี่ยงเบนมาตรฐาน = 3.56) และ 4.01 (3.72) ตามลำดับ ซึ่งแตกต่างอย่างมีนัยสำคัญ (t-test; t = 2.52, df = 1003, p = .012, 95% CI = .127-1.029)

## วิจารณ์

การใช้ลายเส้นผิวนัง เช่น แบบลายนิ่วมีอีจำนวนเส้นลายนิ่วมีรวมสิบนิ้ว และลายฝ่ามือ เป็นต้น มาเป็นประโยชน์ในวงการแพทย์ได้มีมานานแล้วในกลุ่มประเทศตะวันตก ซึ่งพบว่ามีความแตกต่างระหว่างคนปกติ และคนที่มีโครโน่ไซมอนดิกปักษิ<sup>1, 26, 28</sup> ต่อมาได้มีการศึกษาพบความสำคัญของสมมาตรริชั่งมักจะพบสูงในกลุ่มผู้ป่วยโรคต่างๆ ดังได้กล่าวแล้ว<sup>7, 12, 15, 29</sup> รายงานการวิจัยนี้เป็นครั้งแรกที่มีการศึกษาอย่างเป็นทางการวิจัยนี้มีในกลุ่มตัวอย่างคนไทย ซึ่งพบว่า เพศชายมีค่าคะแนนเฉลี่ยของสมมาตรของแบบลายนิ่วมือ = 1.08 และ 1.27 ในเพศหญิง สอดคล้องกับการศึกษาในบางประเทศ เช่นในชาวอิหร่านเพศชาย<sup>16</sup> พบร่วมมือสมมาตร = 1.2 การศึกษาในเด็กเจริญเติบโตปักษิชาวดนาดา<sup>7</sup> อายุเฉลี่ย 9 ปี เปรียบเทียบกับเด็กที่มีการเจริญเติบโตช้า พบร่วมกับปักษิมีค่าคะแนนเฉลี่ยของสมมาตรน้อยกว่าอย่างมีนัยสำคัญ ( $1.22 \pm 1.62$  ตามลำดับ) การวิจัยในต่างประเทศได้สนับสนุนการใช้ค่าสมมาตรของแบบลายนิ่วมือ และค่า a-b ridge count เป็นเครื่องหมายเสี่ยง (risk marker) ในความผิดปกติ ด้านพัฒนาการ (developmental disorders)

สำหรับค่าคะแนนเฉลี่ยดัชนีความซับซ้อนของแบบลายนิ่วมือ ในการศึกษานี้ พบร่วมเพศชาย 525 คน =  $4.59 \pm 3.56$  และหญิง 480 คน =  $4.01 \pm 3.72$  เปรียบเทียบกับการศึกษาแบบติดตามระยะยาว (cohort study) โดย Langsley และคณะ<sup>15</sup> ในชาวอังกฤษปักษิจำนวน 26 คน =  $3.88 \pm 3.76$  ชาวอังกฤษกลุ่มเสี่ยงที่ต่อมา มีอาการป่วยโรคจิตภาพ จำนวน 17 คน =  $0.29 \pm 4.50$  และชาวอังกฤษกลุ่มเสี่ยงอีกสองกลุ่มที่ยังไม่มีอาการโรคจิตภาพ ซึ่งผลการวิเคราะห์ในการวิจัย ดังกล่าวพบว่าชาวอังกฤษกลุ่มเสี่ยงที่ต่อมา มีอาการป่วยโรคจิตภาพนี้ มีค่าคะแนนเฉลี่ยดัชนีความซับซ้อนของแบบลายนิ่วมือต่ำที่สุด ขณะที่ชาวอังกฤษปกติมีค่าคะแนนเฉลี่ยดัชนีความซับซ้อนของแบบลายนิ่วมือ

สูงที่สุดและแตกต่างอย่างมีนัยสำคัญ จะเห็นได้ว่าค่าคะแนนเฉลี่ยดัชนีความซับซ้อนของแบบลายนิ่วมือในชาวอังกฤษ มีความแตกต่างกันระหว่างคนปกติ และผู้ป่วยโรคจิตภาพ จึงน่าจะมีการศึกษาเปรียบเทียบในคนไทยปกติกับผู้ป่วยโรคจิตภาพ เพื่อคุ้มครองความปลอดภัยของคนไข้ ดังที่ได้ผลเช่นเดียวกันกับของต่างประเทศ อาจนำมาใช้ประโยชน์ด้านการป้องกันโรคจิตภาพในชุมชน โดยการตรวจด้วยตนเองเบื้องต้นด้วยเครื่องหมายเสี่ยงนี้ (ค่าคะแนนเฉลี่ยดัชนีความซับซ้อนของแบบลายนิ่วมือ) เพื่อค้นหากลุ่มเสี่ยงสูง (high risk) ในชุมชน แล้ววางแผนเฝ้าระวังและป้องกันมิให้กลุ่มเสี่ยงสูงเกิดโรค เช่นเดียวกับในต่างประเทศ<sup>30</sup> ที่มีการใช้ปัจจัยเสี่ยงต่างๆ และเครื่องหมายเสี่ยง ของโรคจิตภาพในงานด้านเวชศาสตร์ป้องกัน

## สรุป

การวิจัยลายนิ่วมือในคนไทย สำหรับการศึกษา นี้นับเป็นผลงานวิจัยสาขาฯ ระหว่างความรู้ด้านพันธุศาสตร์ และด้านวิศวกรรมคอมพิวเตอร์ โดยการใช้ซอฟต์แวร์ที่สร้างขึ้นโดยวิศวกรคอมพิวเตอร์ marrowรวมข้อมูลลายนิ่วมือของกลุ่มตัวอย่าง แล้ววิเคราะห์แบบลายนิ่วมือโดยนักวิจัยอาชูโสิต้านลายนิ่วมือ ผลการวิเคราะห์ทางสถิติพบว่า (1) สมมาตรของแบบลายนิ่วมือ ในเพศชายมีค่าคะแนนเฉลี่ยน้อยกว่าของเพศหญิง (2) เพศชาย มีแบบลายนิ่วมือบนคู่นิ้วชี้ และนิ้วกลาง ที่สมมาตร น้อยกว่าเพศหญิง (3) ดัชนีความซับซ้อนของแบบลายนิ่วมือในเพศชาย และหญิงแตกต่างอย่างมีนัยสำคัญทางสถิติ

## ข้อเสนอแนะ

ผลการศึกษานี้อาจนำไปสู่แนวทางการศึกษา ร่วมกับสาขาวิชาอื่นๆ เช่น ด้านการแพทย์ ด้านวิศวกรรมคอมพิวเตอร์ เช่นการศึกษาค่าคะแนนเฉลี่ย

ด้วยความซับซ้อนของแบบลายนิ่วมือ และค่าคะแนนเฉลี่ยของสมมารตรของแบบลายนิ่วมือ เป็นต้น ในกลุ่มผู้ป่วยโรคพันธุกรรมที่มีสาเหตุร่วมกันจากยีนและสิ่งแวดล้อม เช่นโรคทางจิตเวช โรคมะเร็งปากมดลูกซึ่งเคยมีการศึกษาโดยสุคนธ์ สุขวิรัช และคณะ<sup>31</sup> ด้านระบาดวิทยาในคนไทยถึงความสัมพันธ์ระหว่างโรคนี้กับแบบลายนิ่วมือ โรคมะเร็งเต้านมซึ่งมีการศึกษาในต่างประเทศ<sup>19, 32</sup> หรือการศึกษาด้านการประดิษฐ์อุปกรณ์ สแกนลายนิ่วมือให้มีประสิทธิภาพสูงสุด และโปรแกรมคอมพิวเตอร์ที่สามารถอ่านแบบลายนิ่วมือ และนับจำนวนเส้นลายนิ่วมือได้อัตโนมัติ ซึ่งแม้แต่นักวิจัยชาวต่างชาติ<sup>33</sup> ยังเรียกร้องให้นักวิจัยคิดค้นวิธีการรับร่วมลายนิ่วมือได้รวดเร็ว และสามารถบันทึกภาพลายนิ่วมือให้มีคุณภาพสูงในรูปไฟล์อิเล็กทรอนิก แล้วสามารถดาวน์โหลดภาพลายนิ่วมือเหล่านั้นมาเข้าโปรแกรมวิเคราะห์แบบลายนิ่วมือ และนับจำนวนเส้นลายนิ่วมือแต่ละนิ่วโดยอัตโนมัติได้ด้วยโปรแกรมคอมพิวเตอร์ แม้ว่าการวิจัยนี้ จะมีความสมดุล รวดเร็ว และแม่นยำ ใน การรับร่วมข้อมูลลายนิ่วมือ มากขึ้น กว่าการพิมพ์ลายนิ่วมือด้วยวิธีดึงดิน เนื่องจากได้ใช้เครื่องสแกนลายนิ่วมือร่วมกับซอฟต์แวร์ที่ได้ประดิษฐ์ขึ้นคือโปรแกรม “พิมพ์ภาพลายนิ่วมืออัตโนมัติปราศจากหมึก” และทดลองใช้แล้วได้ผลดีในระดับหนึ่ง แต่ยังมีข้อจำกัดคือ เครื่องสแกนลายนิ่วมือ ไม่สามารถพิมพ์ลายนิ่วมือได้เต็มพื้นผิวลายนิ่วมือให้ครอบคลุมจุดไตรเรเดียล ของแบบลายนิ่วมือกัน不好ที่มีขนาดใหญ่ มากได้ ซึ่งจะทำให้เคราะห์แบบลายนิ่วมือผิดพลาด แต่สามารถแก้ไขได้ด้วยการให้ผู้มีความรู้ด้านการวิเคราะห์แบบลายนิ่วมือเป็นผู้สแกนนิ่ว เพื่อลดข้อด้อยของโปรแกรมฯ ดังนั้นหากนักวิจัยไทยสามารถประดิษฐ์ซอฟต์แวร์วิเคราะห์แบบลายนิ่วมือ และนับจำนวนเส้นลายนิ่วมือแต่ละนิ่วโดยอัตโนมัติได้ และประดิษฐ์ ยาาร์ดแวร์ (เครื่องสแกนลายนิ่วมือ) ที่สามารถพิมพ์ลายนิ่วมือได้เต็มทั้งด้านข้างและด้านหน้า<sup>34</sup> ด้วยแล้ว

จะช่วยให้นักวิชาการสาขาอื่นๆ หันมาให้ความสนใจค้นคว้าองค์ความรู้ด้านนี้ที่สัมพันธ์กับองค์ความรู้ด้านการแพทย์ ด้านการศึกษา (ศักยภาพพหุปัจญา) และด้านอื่นๆ เพื่อให้เกิดประโยชน์มากยิ่งขึ้น

## กิตติกรรมประกาศ

การวิจัยนี้ได้รับทุนอุดหนุนจากการทุนพัฒนาและส่งเสริมด้านวิชาการของคณะกรรมการวิทยาศาสตร์มหาวิทยาลัยขอนแก่น ประจำปีงบประมาณเงินรายได้ พ.ศ. 2550

## เอกสารอ้างอิง

- Penrose LS. Dermatoglyphics. Sci Am 1969; 221:72-84.
- Penrose LS, Ohara RT. The development of the epidermal ridges. J Med Genet 1973; 10:201-8.
- Okajima M. Development of dermal ridge in the fetus. J Med Genet 1991; 12:243-50.
- Babler WJ. Embryonic development of epidermal ridges and their configurations. Birth Defects Orig Artic Ser 1973; 27:95-112.
- Mulvihill JJ, Smith DW. The genesis of dermatoglyphics. J Pediatr 1969; 75:579-89.
- Naugler CT, Ludman M. Fluctuating asymmetry and disorders of developmental origin. Am J Med Genet 1996; 66:15-20.
- Naugler CT, Ludman M. A case-control study of fluctuating dermatoglyphic asymmetry as a risk marker for developmental delay. Am J Med Genet 1996 b; 66:11-4.
- Kelly BD, Cotter D, Denihan C, Larkin D, Murphy P, Kinsella A, et al. Neurological soft signs and anomalies in twins with schizophrenia. Euro Psychiatr 2004; 19:159-63.

9. Rose RJ. Prenatal programming of behavior: a twin-study perspective. *Neurosci Biobehav Rev* 2005; 29:321-7.
10. van Os J, Fananas L, Cannon M, Macdonald A, Murray R. Dermatoglyphic abnormalities in psychosis: a twin study. *Biol Psychiatry* 1997; 41:624-6.
11. Rosa A, Fananas L, Bracha HS, Torrey EF, van Os J. Congenital dermatoglyphic malformations and psychosis: a twin study. *Am J Psychiatry* 2000; 157:1511-3.
12. Saha S, Loesch D, Chant D, Welham J, El-Saadi O, Fañanás L, et al. Directional and fluctuating asymmetry in finger and a-b counts in psychosis: a case-control study. *BMC Psychiatry* 2003; 3:3
13. Mellor CS. Dermatoglyphic evidence of fluctuating asymmetry in schizophrenia. *Br J Psychiatry* 1992; 160:467-72.
14. Avila MT, Sherr J, Valentine LE, Blaxton TA, Thaker GK. Neurodevelopmental interactions conferring risk for schizophrenia: a study of dermatoglyphic markers in patients and relatives. *Schizophr Bull* 2003; 2:595-602.
15. Langsley N, Miller P, Lawrie SM, McIntosh A, Johnstone EC, Byme M. Dermatoglyphics and schizophrenia: a finding from the Edinburgh high risk study. *Schizophr Res* 2005; 74:122-4.
16. Yousefi-Nooriaie R, Mortaz-Hedjri S. Dermatoglyphic asymmetry and hair whorl patterns in schizophrenic and bipolar patients. *Psychiatry Res* 2008; 157: 247-50.
17. Chakraborty D, Mazumdar P, Than M, Singh R. Dermatoglyphic analysis in Malay subjects with bipolar disorders. *Med J Malaysia* 2001; 56:223-6.
18. Fuller IC. Inherited predisposition to cancer: a dermatoglyphic study. *Br J Cancer* 1973; 28: 186-9.
19. Seltzer MH, Plato CC, Fox KM. Dermatoglyphics in the identification of women either with or at risk for breast cancer. *Am J Med Genet* 1990; 37:482-8.
20. Nanakorn S, Mongconthawornchai P, Poosankam P. Imaging software for automated inkless fingerprinting. Proceedings of the First International Conference on Science and Technology for Sustainable Development of the Greater Mekong sub-region, Khon Kaen Thailand, 15-16 August: 2006; p128.
21. Nanakorn S, Poosankam P, Mongconthawornchai P. Perspective automated inkless fingerprinting imaging software for fingerprint research. *J Med Assoc Thai* 2008; 91:82-5.
22. Nanakorn S, Poosankam P, Nanakorn A. An application of automated inkless fingerprint imaging software in fingerprint collection and pattern analysis. Proceedings of the Second International Conference on Innovative Computing, Information and Control. Kumamoto Japan, September 5-7, 4 pages (CD-Rom). 2007.
23. Aase JM, Lyons RB. Technique for recording dermatoglyphics. *Lancet*. 1971;1:432-3.
24. O'Leary E, Slaney J, Bryant DG, Fraser FC. A simple technique for recording and counting sweat pores on the dermal ridges. *Clin Genet* 1986; 29:122-8.
25. สมทรง ณ นคร, ไฟนูลัย มงคลกรรชัย, แก้วใจ เทพสุธรรมรัตน์, กุสุมา ழศิลป์. แบบแผนลายนิ้วมือ และจำนวนเส้นลายนิ้วมือในกลุ่มตัวอย่างประชากร ไทย. *วารสารวิทยาศาสตร์* 2549; 60:468-74.

26. Holt SB. Dermatoglyphics. Nurs Mirror Midwives J 1973; 137:16-9.
27. Holt SB. Palm-prints and their uses in medical biology. Cereb Palsy Bull 1961; 3:333-47.
28. Nora JJ, Fraser FC. Medical genetics: principles and practice. 3<sup>rd</sup> edition. Philadelphia: Lea Febiger, 1989; 278-84.
29. Torrey EF. Epidemiological comparison of schizophrenia and bipolar disorders. Schizophr Res 1999; 39:101-6.
30. Compton MT. Considering schizophrenia from a prevention perspective. Am J Prev Med 2004; 26:178-85.
31. สุคนธ์ ศุภารักษ์, ตุลจัตุร นิตกุบล, เพ็ญแข พิทักษ์ไพรawan, เทวนทร์ โภสัยตระกูล. การศึกษาลายมือและลายนิ้วมือของผู้ป่วยโรคมะเร็งปากมดลูก. วารสารโรคมะเร็ง 2532; 15:27-33.
32. Chiffriller M. The fingerprints of breast cancer. Accessed Date 19 February. Available from:<http://www.a-zbreastcancer.com/articles/afingerprints.htm>.2006
33. Kahn HS. Enhanced collection of fingerprints and ridge counting. Am J Hum Biol 2005;17:383.
34. Palma J, Liessner C, Mil'shtein, S. Contactless optical scanning of fingerprints with 180° view. Scanning 2006; 28:301-4.